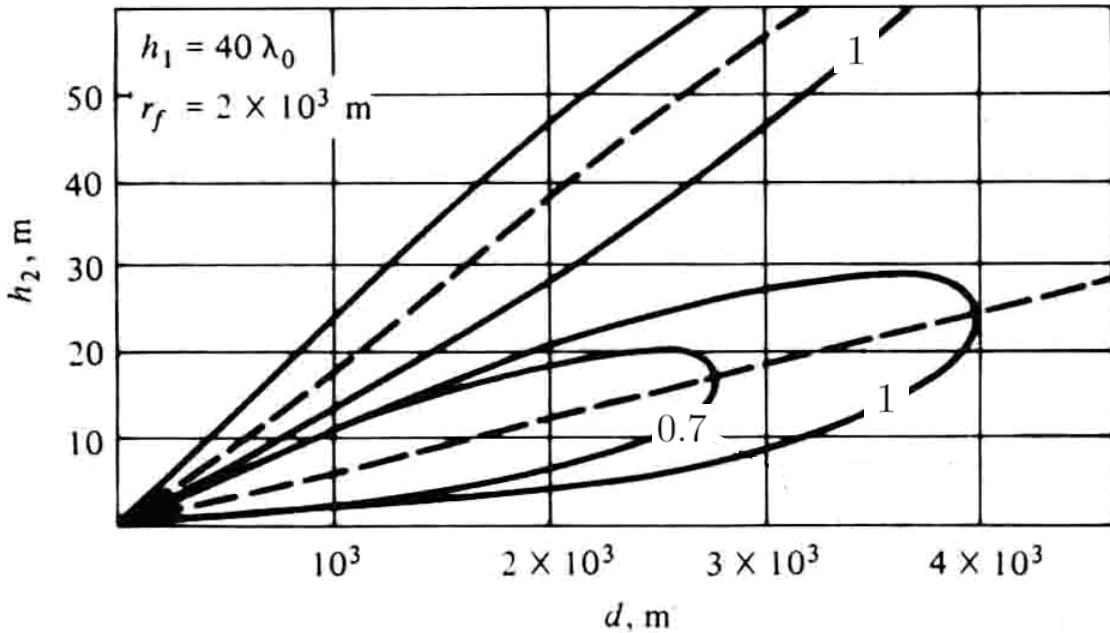


# Diagrammi di copertura

(terra piana,  $\Gamma = -1$ )

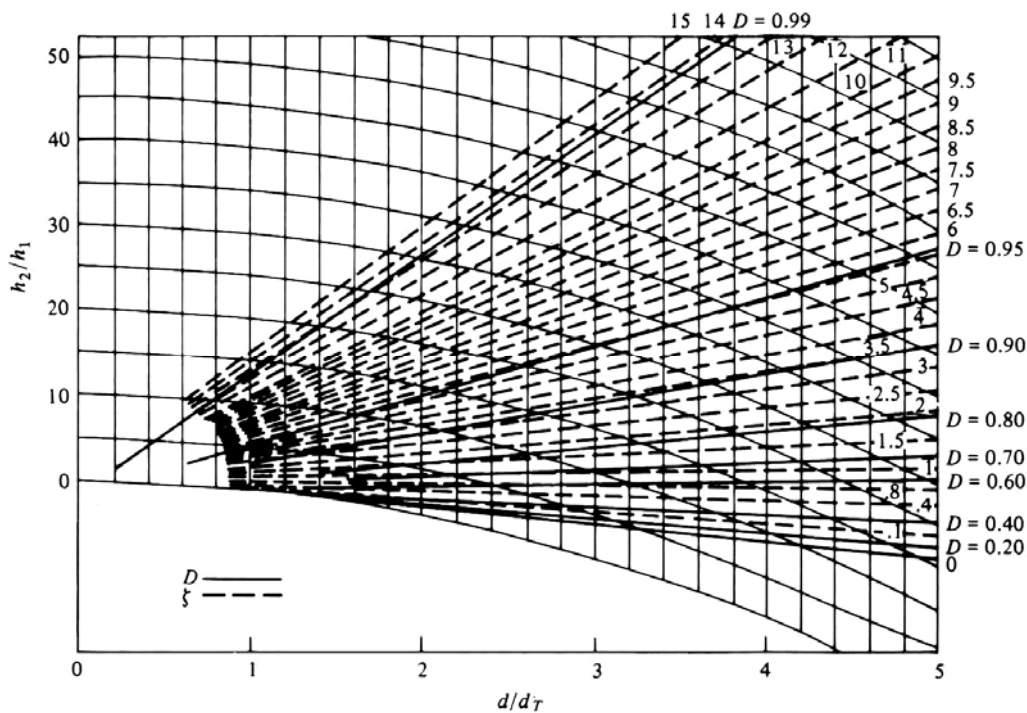
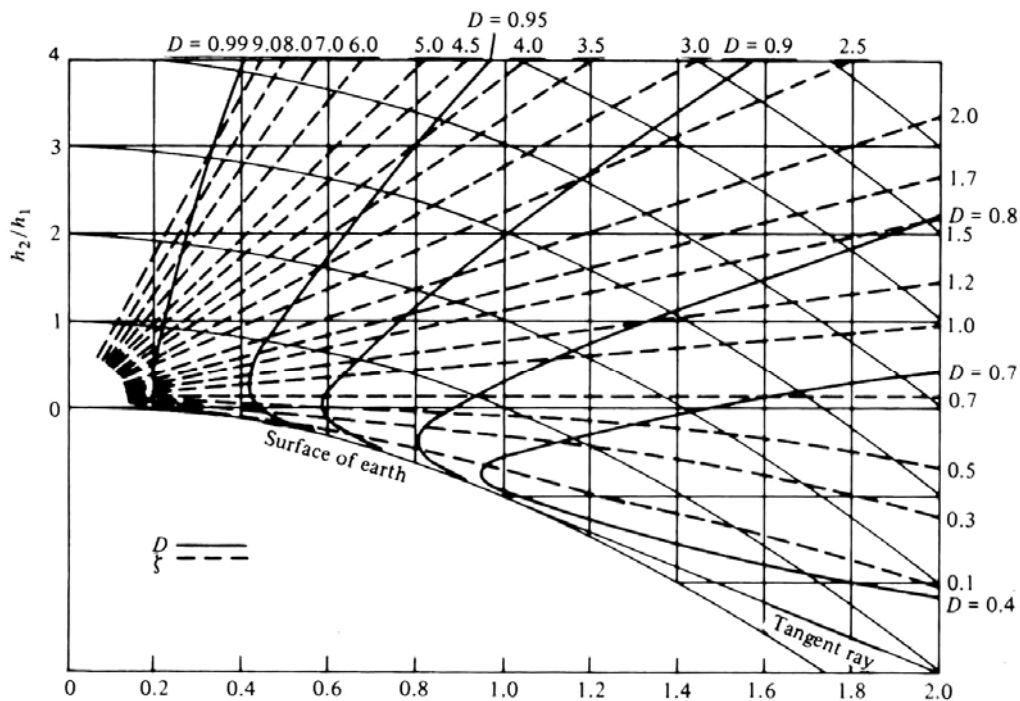


i diagrammi riportano un'insieme di curve che rappresentano i luoghi di punti in cui l'intensità di campo è uguale a quella che si avrebbe nello spazio libero ad una distanza pari a  $m$  volte la distanza di riferimento  $r_f$ .

Tipicamente  $m = \sqrt{2^k}$  ( $\approx \dots, 0.5, 0.7, 1, 1.4, 2, 2.8, 4, \dots$ ) per ( $k = \dots, -2, -1, 0, 1, 2, 3, 4, \dots$ ) così che, indicando con  $E_1$  l'intensità di campo nello spazio libero alla distanza di riferimento e con  $E_m$  l'intensità di campo nei punti appartenenti alla curva contrassegnata con  $m$ , risulta

$$\left. \frac{E_m}{E_1} \right|_{\text{dB}} = -3k$$

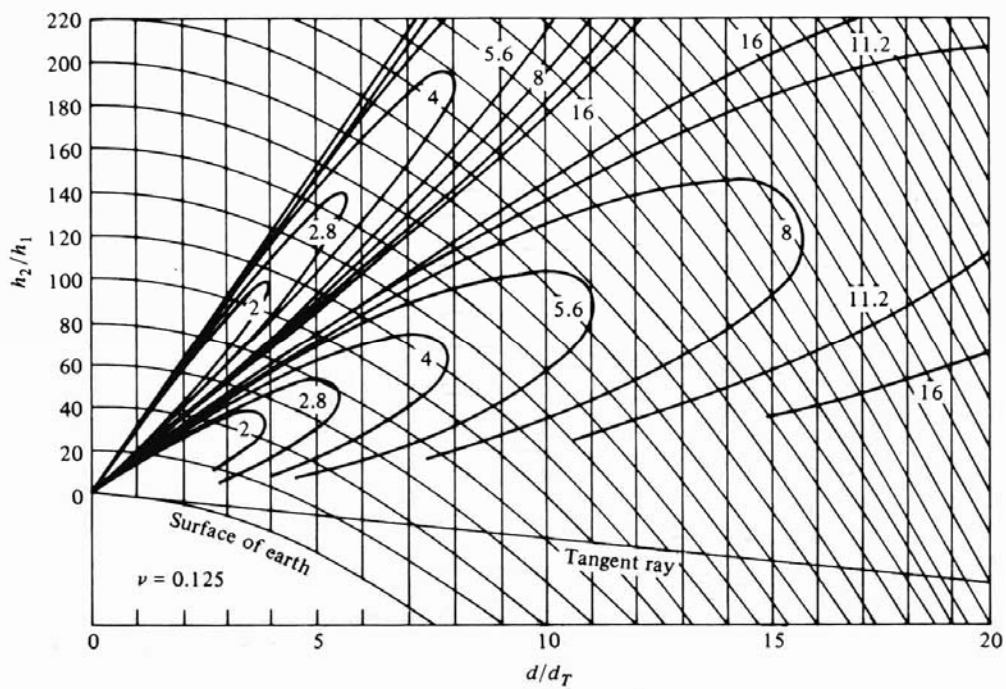
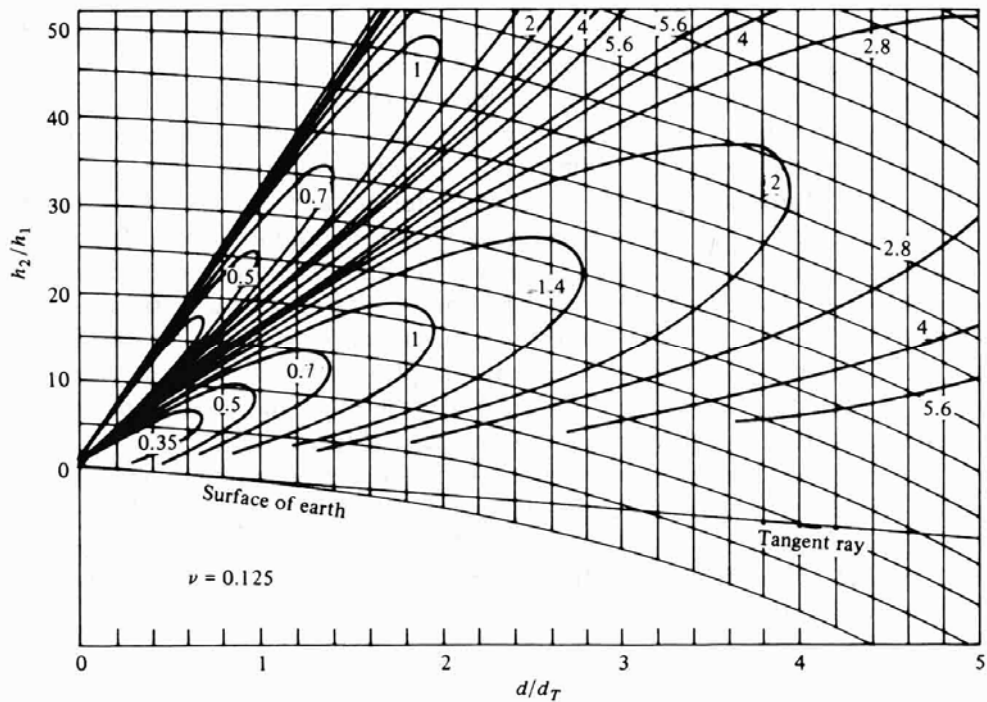
# Andamento del fattore di divergenza con la posizione



$$k \Delta R = \pi v \xi \quad v = \frac{4h_1^2}{\lambda d_t} \quad \xi = \frac{h_2/h_1}{d/d_t} (1 - S_1^2)(1 - S_2^2)$$

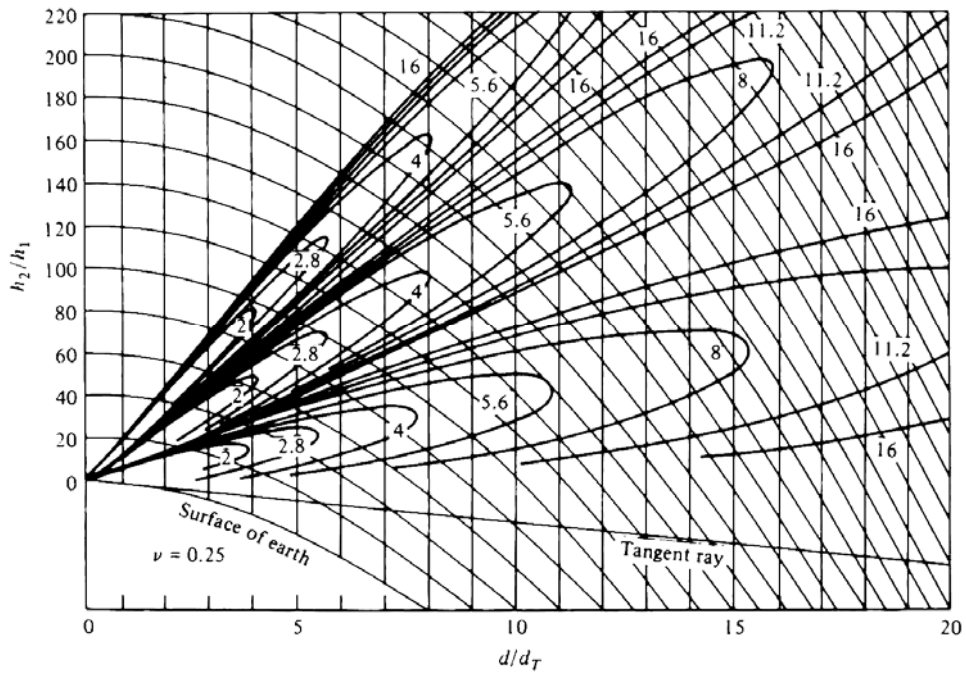
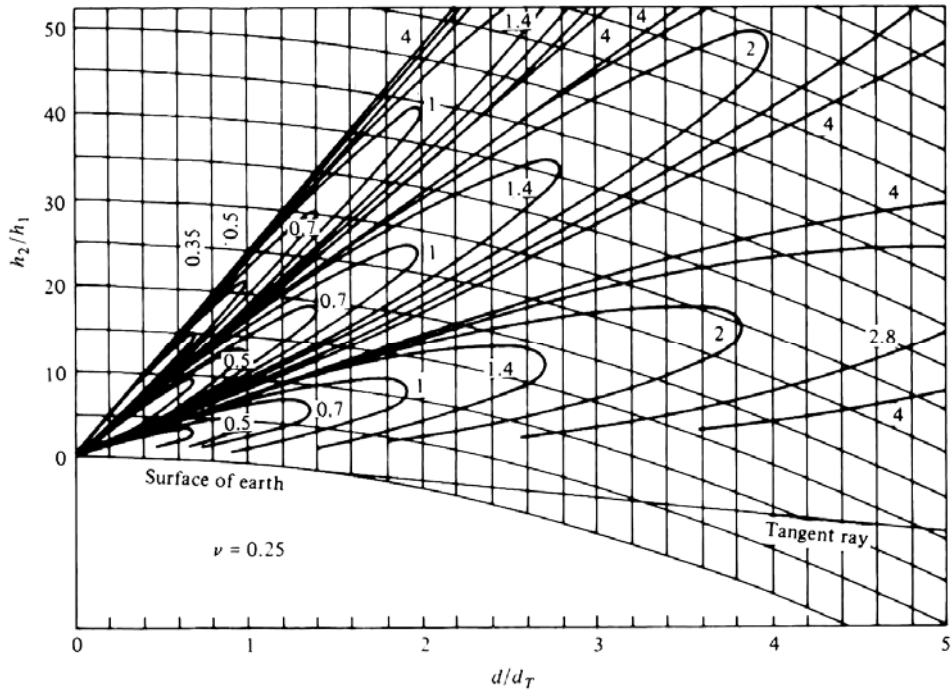
# Diagrammi di copertura

(terra sferica,  $\Gamma = -1$ ,  $\nu = 0.125$ )



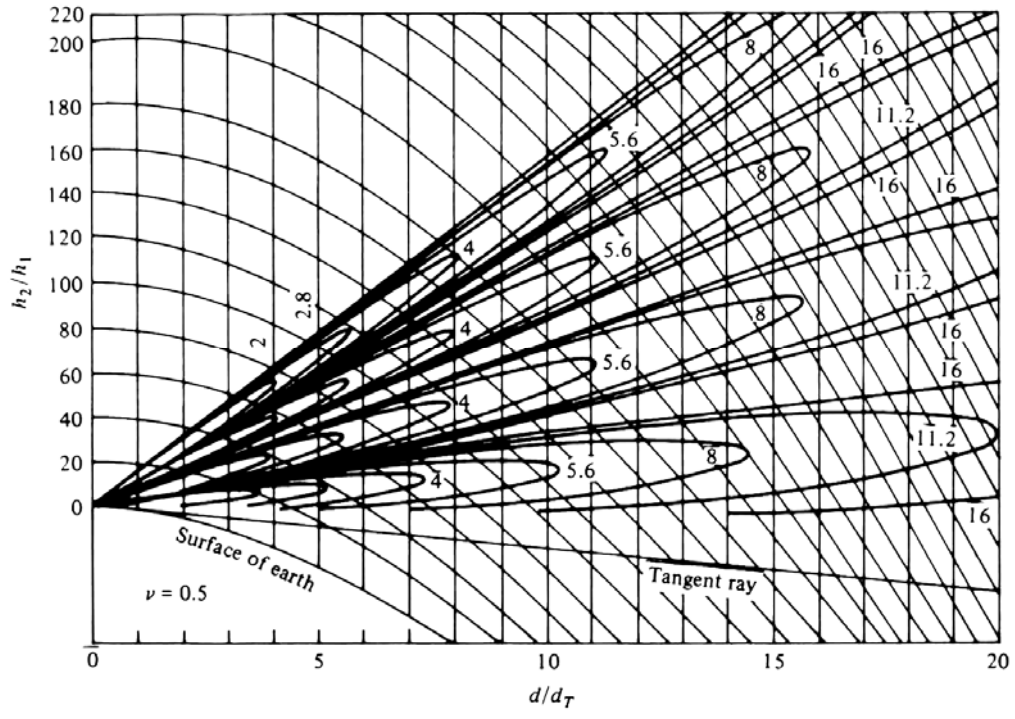
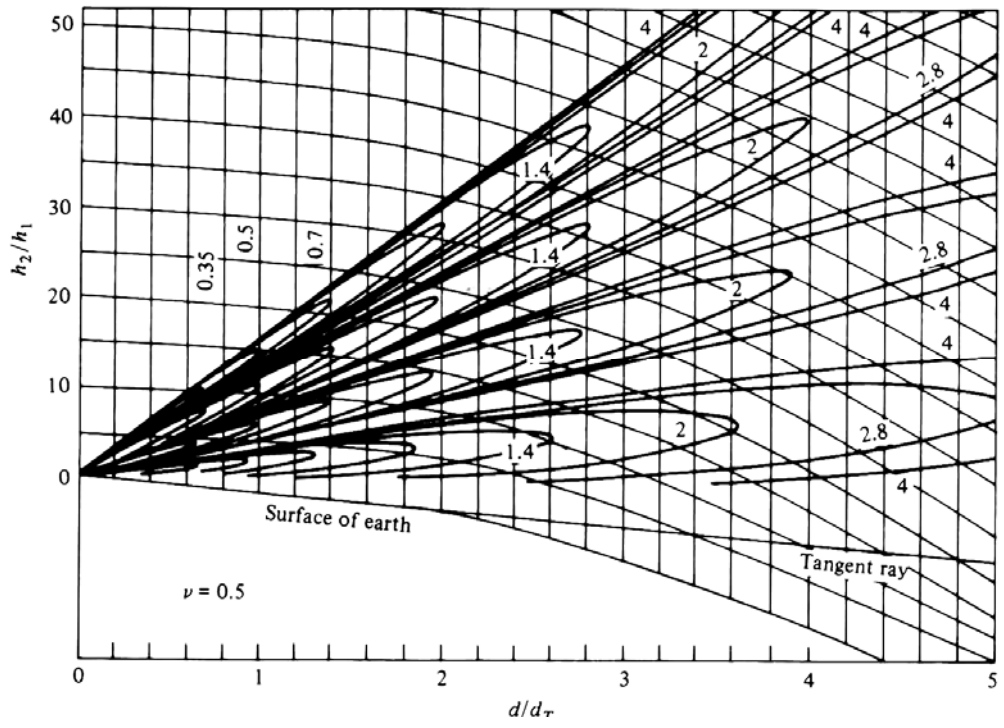
# Diagrammi di copertura

(terra sferica,  $\Gamma = -1$ ,  $\nu = 0.25$ )



# Diagrammi di copertura

(terra sferica,  $\Gamma = -1$ ,  $\nu = 0.5$ )



# Diagrammi di copertura

(terra sferica,  $\Gamma = -1$ ,  $\nu = 1$ )

